

خاستگاه و زمین دما - فشارسنگی آندزیت‌های شمال باخته آتشفشن مساحیم، شهریابک، کرمان، جنوب خاور ایران

زهرا خواجه جواران^۱، غلامرضا قدیمی^{۱*}، عباس مرادیان^۲ و بهروز کریمی شهرگی^۳

^۱گروه زمین‌شناسی، دانشکده علوم پایه، دانشگاه هرمزگان، بندرعباس، ایران

^۲گروه زمین‌شناسی، دانشکده علوم پایه، دانشگاه شهید باهنر، کرمان، ایران

^۳آزمایشگاه مرکز تحقیقات فراوری مواد معدنی ایران، کرج، ایران

چکیده

آنزدیت‌های اطراف آتشفشن مساحیم در شمال شهریابک در پهنه ایران مرکزی و در کمریند ارومیه-دختر واقع شده است. اغلب دارای بافت پورفیری‌اند و کانی‌های اصلی آنها پلاژیوکلاز (آنزدین تا لابرادوریت)، پیروکسن (اوژیت) و آمفیبول (چرماتیت و مگنزیوهربلند) است. این سنگ‌ها مربوط به سری ماسگمایی کالک‌آلکالن و در محیط کمان آتش‌فشنی تشکیل شده‌اند. براساس بررسی‌های ژئوشیمیایی، از لحاظ LREE در مقایسه با HREE غنی شدگی دارند. نبود بی‌هنجاری مشخص Eu در الگوی عناصر نادر خاکی، نشان دهنده شرایط اکسایش ماسگمایی طبی تبلور است. بررسی ژئوشیمیایی کانی‌های کلینوپیروکسن نشان می‌دهد که دارای ترکیب اوژیت بوده و ماسگمایی که این کلینوپیروکسن‌ها از آن تشکیل شده‌اند در حدود ۱۰ درصد آب داشته است. میزان آهن سه ظرفیتی کلینوپیروکسن‌ها نشان دهنده میزان بالای اکسیژن در ماسگمایی است. مطالعات زمین دما- فشارسنگی کلینوپیروکسن‌ها گویای آن است که میزان فشار تبلور کلینوپیروکسن‌ها حدود ۶-۱۰ کیلوبار و در گستره دمایی ۹۰۰-۱۱۰۰ درجه سانتی‌گراد مبتلور شده‌اند. کلینوپیروکسن‌های بررسی شده متعلق به سری کالک‌آلکالن کوهزایی می‌باشند. دمای به دست آمده از تبلور بلورهای پلاژیوکلاز در حدود ۶۵۰ تا ۷۵۰ درجه سانتی‌گراد می‌باشد. بر اساس مطالعه حاضر، سنگ‌های منطقه احتمالاً حاصل فرورانش سنگ‌کرده اقیانوسی نتوتیس به زیر پهنه سنتدج-سیرجان، در زمان اثوسن و در محیط کمان آتشفشنی است.

اطلاعات مقاله

تاریخچه مقاله:

تاریخ دریافت: ۱۴۰۰/۰۹/۰۳

تاریخ پذیرش: ۱۴۰۰/۱۱/۰۴

تاریخ انتشار: ۱۴۰۱/۱۰/۰۱

کلیدواژه‌ها:

زمین فشارسنگی

زمین دماسنگی

ژئوشیمی

آنزدیت

کرمان

۱- پیش‌نوشتار

(نوار ماسگمایی دهچ - ساردوئیه) در شمال و شمال خاور شهرستان شهریابک واقع شده است که در این ناحیه طیف گسترده‌ای از سنگ‌های آتشفشنی و نفوذی به سن اثوسن تا پلیوسن وجود دارد. حسن زاده (۱۳۵۷)؛ مرادیان (۱۳۷۵)؛ قدیمی (۱۳۸۷) و شهاب‌پور (۱۳۸۴) هر کدام به تناسب نوع مطالعات، ویژگی‌های ساختاری، زمین‌ساختنی و ماسگمایی این نوار ماسگمایی را در بخش‌های گوناگون مورد بررسی قرار داده‌اند. طبق پژوهش‌های زمین‌شناسان این سنگ‌ها به سری‌های ماسگمایی مختلفی از جمله کالک‌آلکالن، آلکالن، شوشوئیتی و گاهی آداتیتی تعلق دارند. فوران‌های اولیه اثوسن ایران مرکزی از نوع کالک‌آلکالن و زیردریابی بوده و سپس انواع سنگ‌های آتش‌فشنی که به طور متناوب کالک‌آلکالن بوده‌اند که با حجم‌های مختلف و بدون نظم و ترتیب خارج شده‌اند. در اثوسن پسین ترکیب گدازه‌ها به طرف قلیابی (سدیمی یا بتاسیمی) و به شدت قلیابی گرایش پیدا کرده‌اند (حسن زاده ۱۳۵۷؛ مهدوی، ۱۳۷۷). سنگ‌های آتشفشنی مطالعه شده در نقشه ۱/۲۵۰۰۰۰ اثار و ۱/۱۰۰۰۰ شهرستان شهریابک واقع گردیده است. در این مقاله، به بررسی روش‌های مختلفی از جمله سنگ‌نگاری، شیمی سنگ کل و شیمی کانی تا حدودی خاستگاه

اقیانوس پالئوتیس در اوایل دوره پرمن، به دنبال حرکت رو به شمال بلوک ایران مرکزی و برخورد آن با صفحه اوراسیا، در شمال شروع به بسته شدن کرد (Berberian and King, 1981). در پی بسته شدن اقیانوس پالئوتیس در شمال، اقیانوس جدیدی (نوتیس) در جنوب، در میان دو بلوک عربی و ایران مرکزی، شروع به باز شدن کرد. در زمان تریاس بالایی- ژوراسیک زیرین فرورانش اقیانوس نوتیس به زیر بلوک ایران مرکزی، در امتداد حاشیه فعال قاره‌ای (کمریند سنتدج-سیرجان) شروع شده است (Davoudzadeh et al., 1981). وجود گدازه‌های آتشفشنی در امتداد کمریند سنتدج-سیرجان در منطقه مورد بررسی شاهدی از فرورانش اقیانوس نوتیس در این منطقه است. زمان بسته شدن اقیانوس نوتیس از نظر برخی زمین‌شناسان مورد بحث است که بر اساس اولین نظریه، بسته شدن پایانی آن در طی کرتاسه پایانی- پالئوسن است (Berberian and King, 1981). همچنین در مقابل، بر اساس نظر برخی دیگر از زمین‌شناسان، بسته شدن نوتیس در زمان الیگوسن بالایی (Agard et al., 2005) و یا حتی میوسن (Jackson et al., 1995) صورت گرفته است. بخش مهمی از نوار ماسگمایی ارومیه-بزمان (Allen et al., 2004)

doi: 10.22071/GSJ.2022.311942.1958

dor: 20.1001.1.10237429.1401.32.4.2.8



This is an open access article under the by-nc/4.0/ License (<https://creativecommons.org/licenses/by-nc/4.0/>)

* نویسنده مسئول: غلامرضا قدیمی؛ E-mail: ghadami@hormozgan.ac.ir

حقوق معنوی مقاله برای فصلنامه علوم زمین و نویسنده‌گان مقاله محفوظ است.

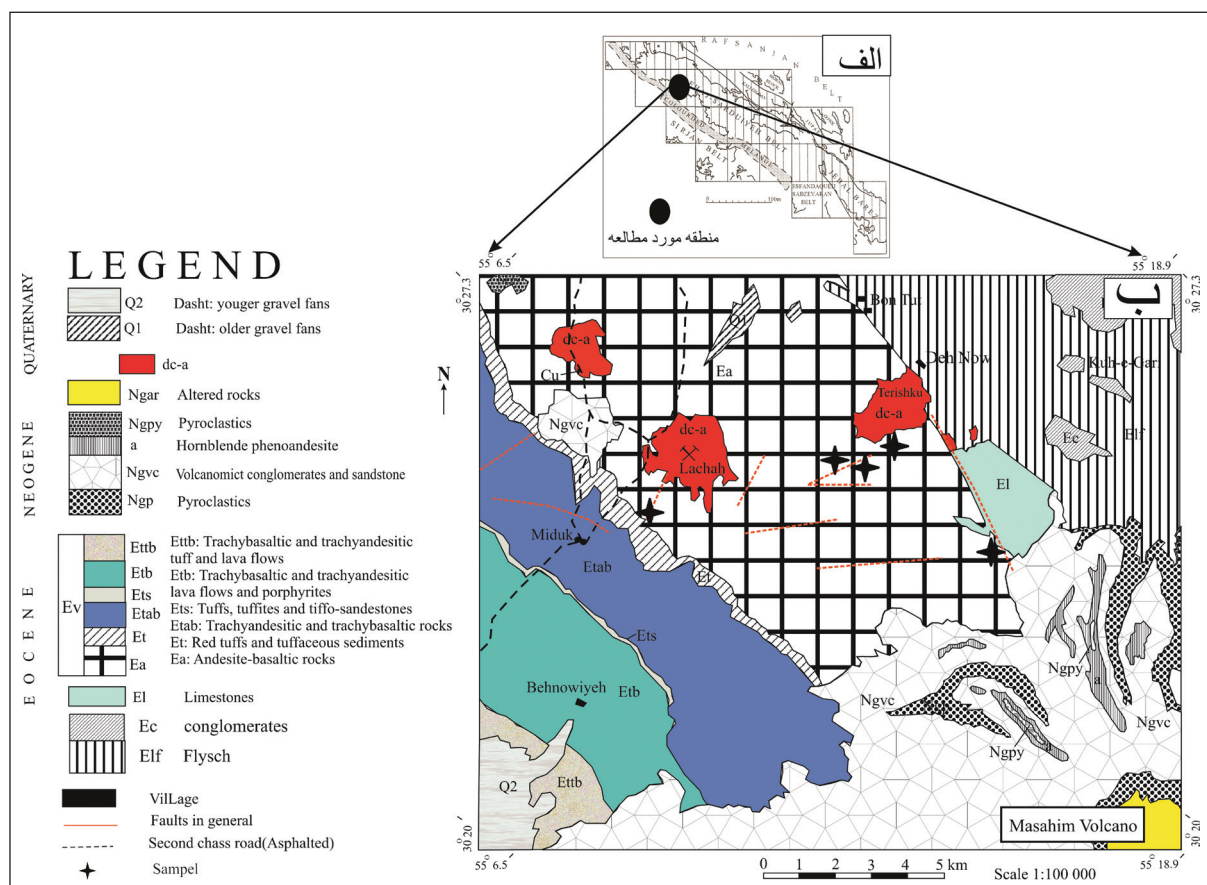
۳- جایگاه زمین‌شناسی و روابط صحرایی

منطقه مورد مطالعه در گستره‌ای با مشخصات $6^{\circ}55' \text{ E}$ تا $20^{\circ}55' \text{ E}$ طول خاوری و $20^{\circ}30' \text{ N}$ تا $27^{\circ}30' \text{ N}$ عرض شمالی قرار گرفته است (شکل ۱-الف و ب). در این ناحیه، تعدادی توده آتشفسانی داسیت-آندزیتی به سن میو-پلیوسن به درون سنگ‌های کمریند ماگمایی ارومیه-دختر به صورت گبد و یا مخروط آتشفسانی کوچکی فوران کرده که در جنوب و شمال خاور آتشفسان مسامحیم جای گرفته‌اند. سن این توده‌ها بر پایه نقشه زمین‌شناسی شهربایک، میو-پلیوسن گزارش شده است. سنگ‌های آتشفسانی مربوط به ائوسن قدیمی تر هستند و توده‌های داسیتی-آندزیتی به داخل آن نفوذ کرده است و جدیدتر است و قطعات قدیمی تر را درون خود دارد. ارتفاع بالا نسبت به سنگ‌های آتشفسانی ائوسن مجاور و رنگ روشن سنگ‌های داسیتی، این توده‌ها را از دیگر سنگ‌های منطقه مجزا می‌کند. در محدوده مورد مطالعه، واحدهای آندزیتی منطقه، مورد بررسی و مطالعه قرار گرفته‌اند. آندزیت‌های منطقه در صحراء به شکل جریان گدازه و دایک دیده می‌شوند (شکل ۲-الف و ب). دایک‌های آندزیتی نسبت به گدازه‌ها جدیدترند. آندزیت‌های منطقه در صحراء به رنگ‌های خاکستری تا خاکستری تیره دیده می‌شوند و دایک‌ها به رنگ خاکستری تیره دیده می‌شوند. از لحاظ ویژگی‌های سنگ‌شناسی، بیشتر آندزیت‌ها دارای بافت پورفیری هستند که بلورهای پلازیوکلاز، آمفیبول و پیروکسن در آنها دیده می‌شود (شکل ۲-پ).

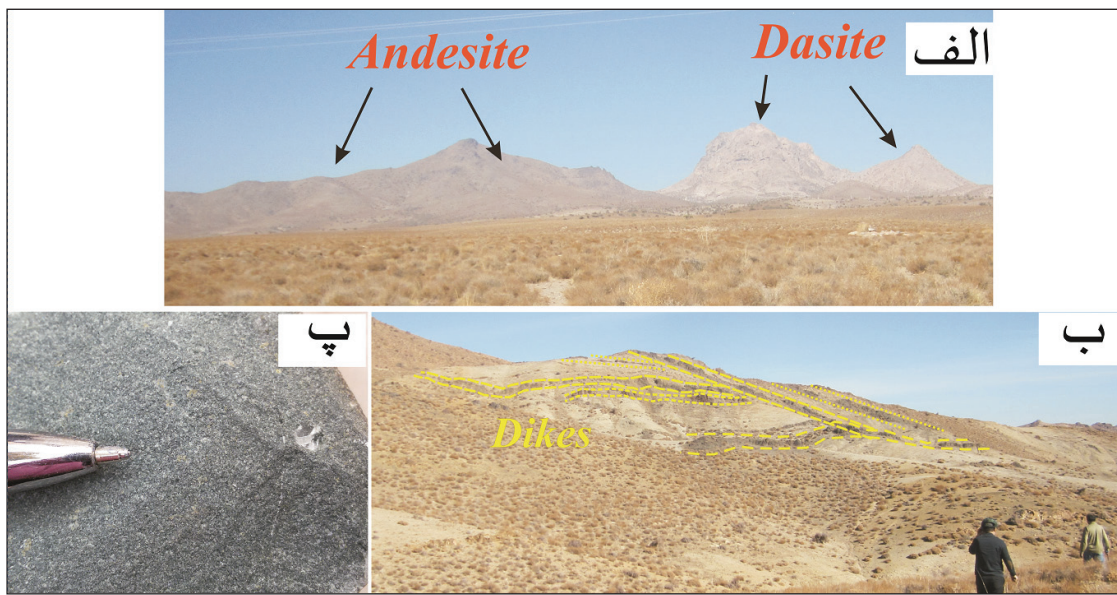
ماگمای سازنده سنگ‌های آتشفسانی آندزیتی و شرایط فیزیکوشیمیابی تبلور و شکل‌گیری‌های بعد در آنها پرداخته می‌شود. از آن جا که هنوز بررسی‌های دقیقی در این بخش از نوار ماگمایی صورت نگرفته است، این بررسی ضروری به نظر می‌رسد.

۲- روش پژوهش

پس از بررسی‌های صحرایی، نمونه برداری به صورت غیرسیستماتیک از سنگ‌های آندزیتی منطقه صورت گرفت و از بین آنها ۴۷ نمونه مقطع نازک تهیه گردید. پس از بررسی مقاطع نازک ۶ نمونه با دگرسانی کمتر در مرکز تحقیقات فرآوری مواد معدنی ایران (جدول ۱)، برای آنالیز اکسیدهای اصلی به روش طیف‌سنجی جرمی پلاسمای جفت شده القایی (ICP-MS) با دقت 0.1 ppm و عناصر نادر و کمیاب با دقت (ppm) به روش ICP OES اندازه گیری شدند. برای مطالعات شیمی کانی‌ها، ۶ نمونه مقطع نازک صیقلی تهیه و از ۶۵ نقطه (۱۴ نقطه پیروکسن و ۵۱ نقطه پلازیوکلاز) آنالیز به روش EPMA روی کانی‌های وابسته به آندزیت‌ها انجام گرفت، ریزپردازش با یک ابرپردازشگر خودکار مدل JXA-8600 با ولتاژ شتاب دهنده 20 KeV و پرتو 10 nA در مرکز تحقیقات فرآوری مواد معدنی ایران صورت گرفت. قطر پرتو الکترونی استفاده شده در این بررسی‌ها 5 میکرون بوده است. نتایج آنالیزهای شیمی کانی‌های پیروکسن در جدول ۲ و پلازیوکلاز در جدول ۳ آمده است.



شکل ۱-الف) موقعیت زمین‌شناسی مناطق در نوار دهچ-ساردوئیه، ب) نقشه زمین‌شناسی منطقه با اقتباس از نقشه ۱:۱۰۰۰۰ شهربایک با شماره ۷۰۴۹
(Dimitrijevic, 1973)



شکل ۲- تصویر صحرا ای از آندزیت های منطقه مورد مطالعه، الف) روانه های آندزیتی، ب) دایک های آندزیتی پ) نمونه های دستی.

جدول ۱ - نتایج آنالیز شیمیایی سنگ های آندزیتی (TA=تراکی آندزیت و A=آندزیت).

	15	63	23	87	79	81
TA	TA	TA	A	A	A	TA
Massive	Massive	Massive	Massive	Dike	Massive	Dike
SiO₂	55.6	58.96	58.85	58.56	57.69	58.14
Al₂O₃	16.68	16.11	17.31	16.14	16.39	15.75
Fe₂O₃	5.94	5.73	6.68	6.69	7.58	6.93
CaO	5.29	5.93	6.94	7.12	5.11	6.64
MgO	0.92	2.14	1.76	2.74	2.25	2.83
Na₂O	4.02	3.96	4.03	3.43	5.47	2.96
K₂O	7.16	3.42	2	2.32	0.69	3.79
MnO	0.11	0.13	0.13	0.16	0.26	0.16
P₂O₅	0.22	0.2	0.19	0.15	0.22	0.18
TiO₂	0.73	0.67	0.8	0.6	0.67	0.88
SO₃	0.1	0.1	0.1	0.1	0.1	0.1
SrO	0.1	0.13	0.11	0.1	0.1	0.1
L.O.I	3.07	2.43	1.01	1.8	3.45	1.46
Sum	99.94	99.91	99.91	99.91	99.98	99.92
Ba	397.4	1153.4	574.4	361.4	52.71	215.97
Ce	35.5	25.2	16.7	10.1	38.94	77.86
Cs	1.8	0.6	0.4	0.4	1.16	2.4
Dy	2.5	1	1.3	0.6	3.68	5.76
Eu	0.6	0.5	0.6	0.3	2.09	3.51
Hf	0.8	1.3	1.2	0.6	2.08	6.61
La	16.7	12.3	7.4	4.7	4.92	13.37
Lu	0.2	0.1	0.1	0	0.27	0.47
Nb	15.9	18.5	8.6	5.8	3.07	5.36
Nd	17.3	10.7	9.6	5.1	32.71	56.38
P	1119.7	965.3	1062.1	580.7	0.1	0.09
Pb	15	13.1	14.3	11.8	43.37	27.79
Pr	4.4	2.9	2.2	1.2	8.31	14.15
Rb	109.8	20.3	12	16.5	13.46	162.69
Sm	3.7	1.9	2	1.1	4.04	7.27
Sr	337.9	574.9	640.7	378	671.24	506.91
Th	9	5.2	1.9	0.7	1	6.08
Ti	2076.5	3328.8	3666.4	2628.3	0.15	0.31
U	3.5	3.9	1.6	0.5	1	2.17
Y	10.4	3.4	5.3	2.7	19.97	24.34
Yb	1.2	0.4	0.6	0.3	4.24	6.07
Zr	83.1	93.8	84.9	34.2	37.45	112.98

جدول ۲- نتایج آنالیز نقطه‌ای تعدادی از پیروکسن‌های موجود در آندزیت (فرمول ساختاری پیروکسن برپایه ۸ اکسیژن به دست آمده است).

	81-18	81-19	81-20	81-21	81-25	81-26	81-27	59-1	59-2	59-3	59-4
SiO₂	50.75	49.9	50.95	50.64	50.87	49.83	51.15	51.57	51.38	52.77	52.34
Al₂O₃	3.02	4.04	2.42	2.92	2.96	2.42	2.92	1.42	2.45	1.12	1.23
FeO	8.91	9.25	9.62	9.32	8.88	8.66	8.43	7.84	8	7.61	7.58
CaO	20.61	20.58	19.9	20.16	20.63	19.44	20.34	21.99	21.29	22.03	22.24
MgO	15.05	14.57	15.39	15.22	13.29	15.83	15.8	15.56	15.08	15.65	15.06
Na₂O	0.33	0.35	0.37	0.3	0.33	0.26	0.24	0.69	0.77	0.69	0.7
K₂O	0	0	0	0	0	0	0	0	0	0	0
V₂O₃	0	0	0	0	0	0	0	0.05	0.05	0.06	0.01
Cr₂O₃	0	0	0	0	0.11	0.02	0	0	0	0	0.01
MnO	0.27	0.29	0.33	0.31	0.31	0.34	0.36	0.47	0.47	0.43	0.49
P₂O₅	0	0	0.07	0	0	0.06	0.08	0.03	0	0.03	0.05
NiO	0.32	0.46	0	0	0	0.41	0	0.6	0	0	0.39
TiO₂	0.81	1.11	0.65	0.62	0.78	0.5	0.57	0.31	0.59	0.25	0.28
SO₂	0	0	0	0	0	0	0	0	0.06	0	0.1
Total	100.07	100.55	99.7	99.49	98.16	97.77	99.89	100.53	100.14	100.64	100.48
Fe₂O₃	2.813	3.152	3.432	3.191	0	3.665	2.726	5.975	4.704	4.489	4.246
FeO	6.379	6.414	6.532	6.449	8.88	5.362	5.977	2.463	3.767	3.571	3.759
Si	1.896	1.863	1.909	1.899	1.929	1.905	1.903	1.929	1.914	1.952	1.951
Al^{IV}	0.104	0.137	0.091	0.101	0.071	0.095	0.097	0.063	0.086	0.048	0.049
Al^{VI}	0.029	0.041	0.016	0.028	0.062	0.014	0.031	0	0.021	0.001	0.005
Fe³⁺	0.079	0.088	0.096	0.089	0	0.105	0.076	0.166	0.13	0.124	0.118
Ti	0.023	0.031	0.018	0.017	0.022	0.014	0.016	0.009	0.017	0.007	0.008
Cr	0	0	0	0	0.003	0.001	0	0	0	0	0
Fe²⁺	0.198	0.199	0.203	0.201	0.282	0.17	0.185	0.076	0.116	0.109	0.116
Mn	0.009	0.009	0.01	0.01	0.01	0.011	0.011	0.015	0.015	0.013	0.015
Mg	0.838	0.811	0.86	0.851	0.751	0.902	0.876	0.868	0.837	0.863	0.837
Ca	0.825	0.823	0.799	0.81	0.838	0.796	0.811	0.878	0.849	0.873	0.888
Na	0.024	0.025	0.027	0.022	0.024	0.019	0.017	0.05	0.056	0.049	0.051
K	0	0	0	0	0	0	0	0	0	0	0
Wo	42.34	42.65	40.59	41.31	44.55	40.13	41.38	43.85	43.61	44.04	44.98
En	43.03	42.02	43.68	43.4	39.93	45.48	44.73	43.33	42.98	43.53	42.39
Fs	14.63	15.33	15.73	15.3	15.52	14.39	13.88	12.82	13.41	12.43	12.63
Q	1.861	1.833	1.862	1.862	1.871	1.868	1.872	1.822	1.802	1.845	1.841
J	0.048	0.05	0.054	0.044	0.048	0.038	0.034	0.1	0.112	0.098	0.102

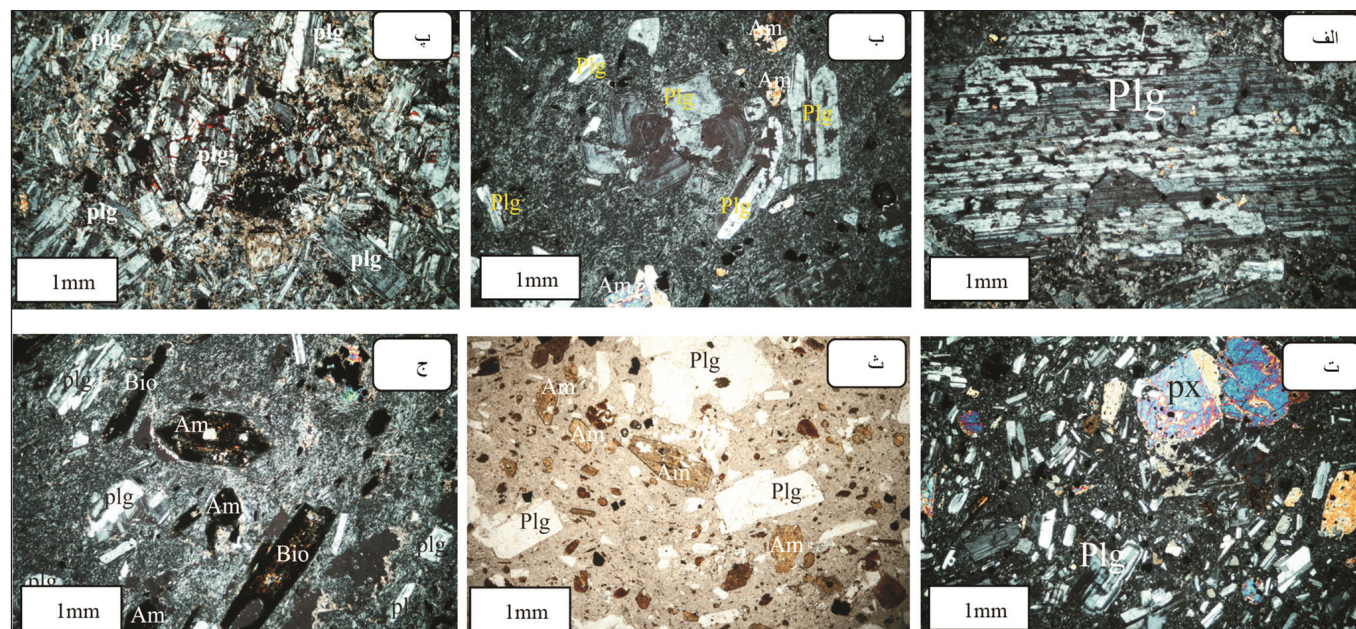
جدول ۳- نتایج آنالیز نقطه‌ای تعدادی از پلازیوکلارهای موجود در آندزیت (فرمول ساختاری برپایه ۸ اکسیژن به دست آمده است).

	15-8	87-56	87-57	87-58	87-60	81-29	81-32	81-46	59-6	59-9	87-59
SiO₂	66.33	57.45	56.57	56.66	56.72	52.83	52.38	56.83	52.22	53.07	53.85
Al₂O₃	20.09	26.47	26.58	27.68	26.84	28.2	29.13	27.17	1.33	0.95	28
FeO	0.14	0.14	0.47	0.25	0.25	0.53	0.54	0.51	8.1	3.96	0.33
CaO	0.9	7.63	8.71	9.29	8.94	11.54	13.29	9.32	21.77	23.95	10.53
MgO	0	0.03	0.03	0.01	0.01	0.05	0.11	0.17	16.1	17.33	0.02
Na₂O	10.78	7.1	6.44	6.72	6.71	4.58	3.6	6.3	0.58	0.4	5.7
K₂O	0.82	0.33	0.33	0.26	0.27	0.52	0.32	0.4	0	0	0.23
V₂O₃	0	0	0	0	0	0	0	0	0.04	0.02	0
Cr₂O₃	0	0	0	0	0	0	0	0	0.05	0.38	0
MnO	0	0	0	0	0	0	0	0	0.37	0.09	0
P₂O₅	0	0	0	0	0	0	0	0	0.06	0	0
NiO	0.53	0	0	0	0	0	0	0	0	0	0
TiO₂	0.04	0.04	0	0	0	0.08	0.03	0.06	0.27	0.51	0
SO₂	0	0.08	0	0	0	0	0	0	0	0	0
Total	99.63	99.27	99.13	100.87	99.74	98.33	99.4	100.76	100.89	100.66	98.66
Si	11.773	10.378	10.268	10.124	10.234	9.76	9.595	10.185	12.122	12.311	9.879
Ti	0.005	0.005	0	0	0	0.011	0.004	0.008	0.047	0.089	0
Al	4.202	5.635	5.686	5.829	5.707	6.14	6.289	5.739	0.364	0.26	6.05
Fe²⁺	0.021	0.021	0.071	0.037	0.038	0.082	0.083	0.076	1.572	0.768	0.051

۴- سنگ نگاری

شیمیایی پلازیوکلازها در اثر تغییر ترکیب شیمیایی ماسکما همراه با تغییرات فشار باشد. پیروکسن نیز یکی دیگر از کانی های مافیکی است که به صورت خودشکل تا نیمه شکل دار و اندازه آنها بین ۱/۰-۲ میلی متر وجود دارد. این کانی اغلب به صورت بی رنگ مشاهده شده و برخی از آنها دارای ماکل ساده می باشند (شکل ۳-ت). آمفیبولها دارای رنگ قهوه ای و شکل دار تابی شکل هستند. این کانی به دو صورت بلورهای درشت اولیه و ریزبلورهای سوزنی در خمیره سنگ حضور دارند (شکل ۳-ث). اندازه آنها بین ۰/۲-۰/۱ میلی متر است. در تعدادی از مقاطع آمفیبولها به صورت میان بار در درون درشت بلورهای پلازیوکلاز دیده می شوند که نشانگر تبلور مقدم آنها بر پلازیوکلاز و همچنین بالا بودن فشار مواد فرار در اولین مراحل تبلور است. گاهی تحت تأثیر آب های گرم به کانی های ثانویه از جمله کلریت، کلسیت و گاهی بیوتیت و اکسید آهن تجزیه شده اند. بیوتیت نیز به صورت پولکی شکل تا تیغه ای در سنگ ها مشاهده می شود. از ویژگی های نوری آنها می توان به چندرنگی قهقهه ای تا قهوه ای تیره اشاره کرد که به کانی های رسی و کلریت دگرسان شده اند. این کانی ها گاهی در سنگ ها سوخته و اپاسیتیزه شده اند (شکل ۳-ج) که گویای کاهش ناگهانی فشار ماسکما در حین صعود است. این کانی به صورت درشت بلورهای اولیه و گاهی به صورت بلورهای ریز در خمیره سنگ مشاهده شده است.

آنذیت ها و تراکی آندزیت ها که بیشتر به صورت گدازه و دایک در منطقه دیده می شوند، دارای رنگ قهوه ای بوده و دارای کانی های اصلی پلازیوکلاز (۵-۵۰ درصد)، آمفیبول (۰-۱۰ درصد)، کلریت، کلسیت و کانی فرعی آنها آپاتیت و کانی های ثانویه اپیدوت، ریزبلورهای پیروکسن، گاه آمفیبول و شیشه تشکیل می دهد. به طور کلی بافت های پورفیری تا میکرو گرانولار پورفیری، دریتی اینترستالت و هیالوپورفیری در این سنگها دیده شد. اصلی ترین کانی روش پلازیوکلاز است که به صورت درشت بلور و میکرولیت دیده می شود. این کانی ها به صورت خودشکل تا نیمه شکل دار بوده و اندازه آنها بین ۰/۷-۰/۲ میلی متر می باشد. از ویژگی های بافتی آنها بافت های عدم تعادل مانند بافت های اسفنجی، منطبق بندی نوسانی و ماکل پلی سنتیک است (شکل ۳-الف). از محصولات دگرسانی می توان به کانی های رسی، کلریت، کلسیت و سریسیت (شکل ۳-ب) و پرشدگی درز و شکاف های پلازیوکلاز، از اکسید آهن که توسط سیالات حاوی این عنصر آورده شده اند (شکل ۳-پ)، اشاره کرد. گاه میانبارهایی از بیوتیت، آمفیبول، آپاتیت، زیرکن و کانی های اپک (مگنتیت) در کانی پلازیوکلاز دیده می شود. با توجه به بررسی های صحرایی و میکروسکوپی منطقه به نظر می رسد که تغییر ترکیب



شکل ۳- تصویرهای میکروسکوپی XPL (الف تا ت و ج) و (پپ) از آندزیت های گدازه ای - الف) نمایی از فنر کریست پلازیوکلاز با بافت اسفنجی در مرکز و میکرولیت های پلازیوکلاز در زمینه، ب) نمایی از پلازیوکلاز با بافت منطقه بنده نوسانی و آلکالی فلدسپارهای دگرسان شده به کانی های رسی با ماکل کارلسپاد، پ) پرشدگی درز و شکاف از اکسید آهن، ت) کانی پیروکسن (ث) کانی آمفیبول به همراه بلورهای کانی پلازیوکلاز، ج) اپاسیتی شدن آمفیبولها و بیوتیت های خودشکل در سنگ ها.

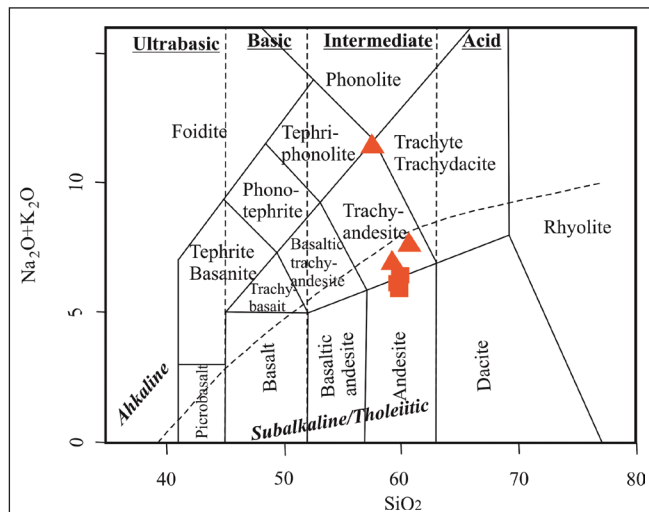
۵- ژئوشیمی سنگ کل

بر اساس نمودار $\text{Na}_2\text{O}+\text{K}_2\text{O}-\text{SiO}_2$ (Le Bas et al., 1986) اغلب نمونه های گدازه در در محدوده های آندزیت و تراکی آندزیت واقع می شوند (شکل ۴). بر اساس نمودار $\text{Na}_2\text{O}+\text{K}_2\text{O}-\text{SiO}_2$ (Kuno, 1968) $\text{Na}_2\text{O}+\text{K}_2\text{O}-\text{SiO}_2$ مقدار درصد آلکالی ها در برابر سیلیس، دو سری ماسکمایی آلکالن و ساب آلکالن از یکدیگر متمایز می شوند

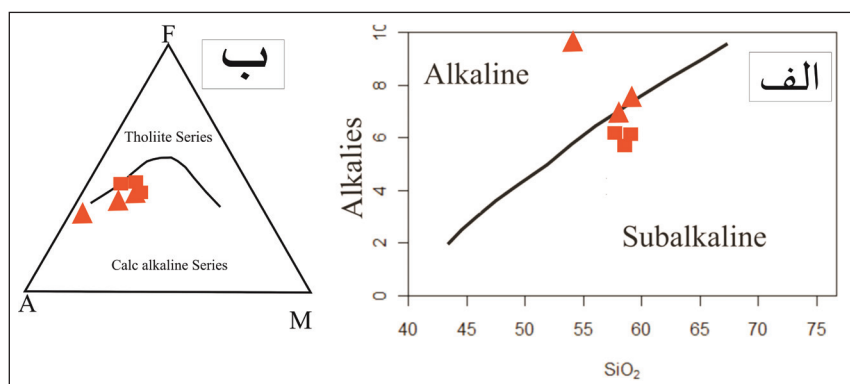
پس از بررسی های لازم از ۴۷ نمونه، ۶ نمونه با دگرسانی کمتر انتخاب برای آنالیز اکسیدهای اصلی انتخاب شدند (جدول ۱). از این آنالیز برای بررسی های ژئوشیمی از جمله نام گذاری سنگ ها، تعیین سری ماسکمایی، محیط زمین ساختی، ... استفاده شده است.

بر اساس نمودار AFM (Irvine and Baragar, 1971) گدازه های منطقه مورد مطالعه در محدوده مرز سری کالک آلکالن و سری تولئی ایت قرار می گیرند (شکل ۵-ب).

(Best, 2003). سنگ های منطقه مورد مطالعه اغلب در محدوده ساب آلکالن و مرز مشترک سری آلکالن و ساب آلکالن واقع می شوند (شکل ۵-الف). یکی از نمونه ها در محدوده آلکالن قرار گرفته که به دلیل دگرسانی زیاد در آن می باشد.



شکل ۴- نمودار $\text{Na}_2\text{O}+\text{K}_2\text{O}$ - SiO_2 (▲: تراکی آندزیت و ■: آندزیت).



شکل ۵- تعیین سری ماگمایی، (الف) بر اساس نمودار $\text{Na}_2\text{O}+\text{K}_2\text{O}-\text{FeO}-\text{MgO}$ ، (ب) بر اساس نمودار AFM

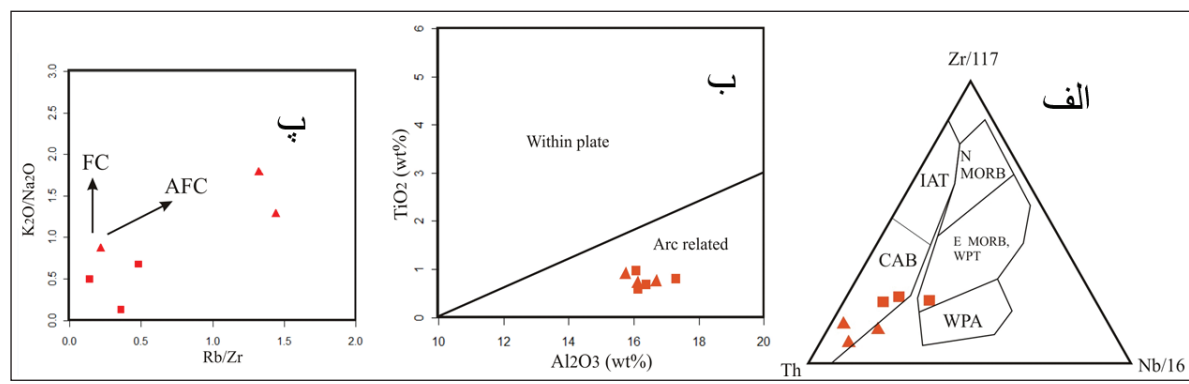
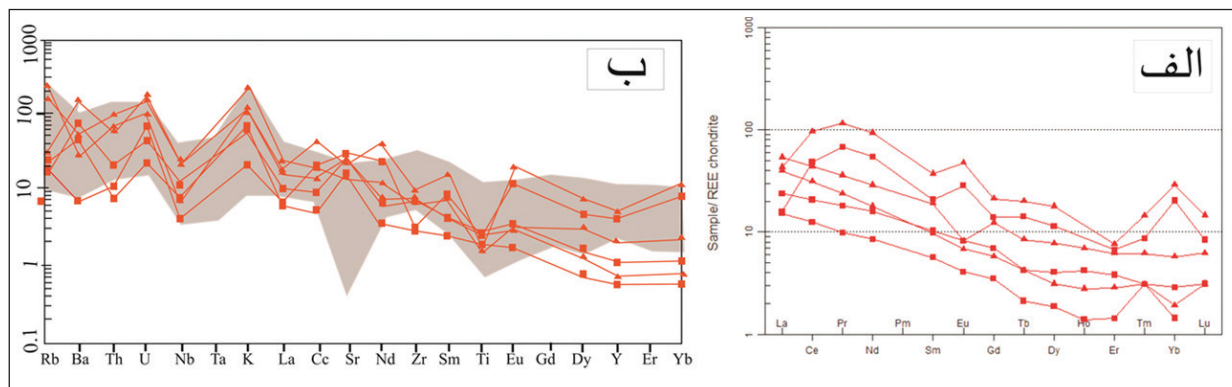
بی هنجاری منفی Nb , La , Ce , P , Zr در نمودار می تواند به دلیل عدم تحرک و باقی ماندن آنها در صفحه فرو رانده شده باشد؛ به طوری که این عناصر در مذاب آزاد شده از صفحه وارد نمی شوند.

این بی هنجاری می تواند شاخص سنگ های قاره ای و مشارکت پوسته در فرایندهای ماگمایی باشد. غنی شدگی از Ba , U , K , Pb , Sr نیز به علت ماهیت فرو رانش است زیرا به علت تحرک نسبتاً بالای این عناصر، مذاب های حاصل از صفحه فرو رونده غنی از این عناصر هستند (Peng et al., 2008). غنی شدگی از U احتمالاً به دلیل آلدگی پوسته ای یا ویژگی های منشأ وابسته است (Kuseu and Geneli, 2010).

همچنین می توان به عملکرد مذاب رها شده از ذوب بخشی بالای صفحه فرو رونده نسبت داد (Tatsumi and Hanyu, 2003; Ghorbani, 2006). شاید هم بتوان، غنی شدگی عناصر را با آلایش ماگما با مواد پوسته قاره ای در حین بالا آمدن ماگما، توجیه نمود (Varekamp et al., 2010; Wayer et al., 2003). در نمودار شکل ۷-ب ترکیب گدازه های کمان آتشفسانی مزو زوییک ایران (Omran et al., 2008) نیز برای مقایسه آورده شده است.

سنگ های آتشفسانی در نمودارهای متایز کننده محیط زمین ساختی در محدوده کمان آتشفسانی وابسته به فرورانش واقع می شوند. در نمودار $\text{Hf}/3-\text{Th}-\text{Nb}/16$ (Muller and Groves, 1997) (شکل ۶-الف) و $\text{Al}_2\text{O}_3-\text{TiO}_2$ (Wood, 1980) (شکل ۶-ب) در محدوده کمان های آتشفسانی قرار می گیرند. جهت تشخیص فرایندهای تبلور تفریقی همراه با حضم (AFC) و تبلور تفریقی (FC) از نمودار نسبت $\text{K}_2\text{O}/\text{Na}_2\text{O}$ در برابر Rb/Zr (Esperanca et al., 1992) استفاده شده است. همان گونه که مشاهده می شود، نمونه های مورد مطالعه از روند AFC پیروی می کنند (شکل ۶-پ).

عناصر نادر خاکی (REE) که نسبت به کندریت (شکل ۷-الف) و گوشته اولیه (شکل ۷-ب) (Sun and McDonough, 1989) بهنجار شده است، روندهای نسبتاً مشابهی دارند. عناصر LREE دارای کمی غنی شدگی و عناصر HREE دارای تهی شدگی می باشند. تهی شدگی عناصر HREE احتمالاً ناشی از وجود گارنت در سنگ خاستگاه می باشد. نبود بی هنجاری مشخص Eu در این نمودارها، نشانگر روند جدایش عادی ماگما یا شرایط اکسایشی ماگمای تشکیل دهنده آنها است.

شکل ۶- (الف) نمودار Hf/3-Th-Nb/16 ، (ب) نمودار $\text{Al}_2\text{O}_3\text{-TiO}_2$ در برابر $\text{K}_2\text{O}/\text{Na}_2\text{O}$ ، (پ) نمودار نسبت $\text{K}_2\text{O}/\text{Na}_2\text{O}$ در برابر Rb/Zr .

شکل ۷- (الف) نمودار عناصر کمیاب بهنجار شده نسبت به کندریت، (ب) نمودار عناصر خاکی کمیاب بهنجار شده نسبت به گوشته اولیه، در این نمودار الگوی توزیع عناصر گذارهای کمان آتشفشاری مزوژویک ایران (زمینه) برای مقایسه آورده شده اند (Omrani et al., 2008).

گروه اوژیت قرار می‌گیرند. عدد منیزیم در پیروکسن‌ها از ۷۵-۰/۸۶ در نوسان است.

(الف) تعیین سری ماقمایی با استفاده از شیمی کلینوپیروکسن: پژوهشگران بسیاری Beccaluva et al., 1989 ; Le Terrier et al., 1982 ; Le Bas et al., 1986; Morimoto et al., 1988 (برابرستگی ترکیب شیمیایی پیروکسن‌ها بر ترکیب ماقمایی میزان تأیید کرده‌اند و این امر سبب اهمیت کلینوپیروکسن در تعیین سری ماقمایی و موقعیت زمین ساختی سنگ میزان شده است. از آنجایی که کلینوپیروکسن در برابر دگرسانی کم و بیش مقاوم است، ترکیب شیمیایی آن برای تعیین سری ماقمایی و پهنه زمین ساختی پیدایش ماقماً به کار برده می‌شود (Le Terrier et al., 1982). برای تشخیص بهتر، نمونه ۵۹ به شکل مریع و نمونه ۸۱ به شکل دایره در این نمودار استفاده شد. موقعیت قرار گیری نمونه‌ها در نمودار نشان می‌دهد که تمامی نمونه‌های موجود، در قلمرو ساب آلکالن قرار می‌گیرند (شکل ۱۰-الف). همچنین بر اساس مقادیر Al_2O_3 در برابر TiO_2 نمودار دیگری برای تقسیم سری‌های ماقمایی آلکالن، تولئیتی و کالک آلکالن توسط لیبس و همکاران (Le Bas et al., 1986) ارائه شده است که با استفاده از آن و ترکیب شیمیایی کلینوپیروکسن در محدوده سری کالک آلکالن قرار می‌گیرند (شکل ۱۰-ب). در نمونه شماره ۵۹ با میزان Al_2O_3 کمتر از TiO_2 کمتر است و در نمونه ۸۱ با افزایش Al_2O_3 میزان TiO_2 افزایش پیدا می‌کند.

(ب) تعیین موقعیت زمین ساختی سنگ‌ها: ترکیب کلینوپیروکسن متأثر از شیمی گذارهای میزان آنهاست. این ویژگی سبب می‌شود که بتوان از ترکیب شیمیایی این کانی به ویژه انواع فنوکریست آن برای تعیین نوع ماقماً و موقعیت زمین ساختی گذارهای

نمودار Nb/U-Nb (Cornelius et al., 2011) نیز می‌تواند به خوبی نشانگر وجود آلاش پوسته‌ای باشد. در این نمودار (شکل ۸-الف)، نمونه‌هادر محدوده پوسته قاره‌ای قرار گرفته‌اند که بینگر آلاش پوسته‌ای در سنگ‌ها است. از نمودار Rb/Y-Nb/Rb (Temel et al., 1998) برای تشخیص غنی شدگی بهوسیله سیالات در زون فرورانش یا آلدگی پوسته‌ای و غنی شدگی در موقعیت درون‌صفحه‌ای، می‌توان استفاده کرد. در این نمودار، روند غنی شدگی در زون فرورانش یا آلدگی پوسته‌ای آشکارا قابل مشاهده می‌باشد (شکل ۸-ب).

۶- شیمی کانیایی ۶-۱- پیروکسن

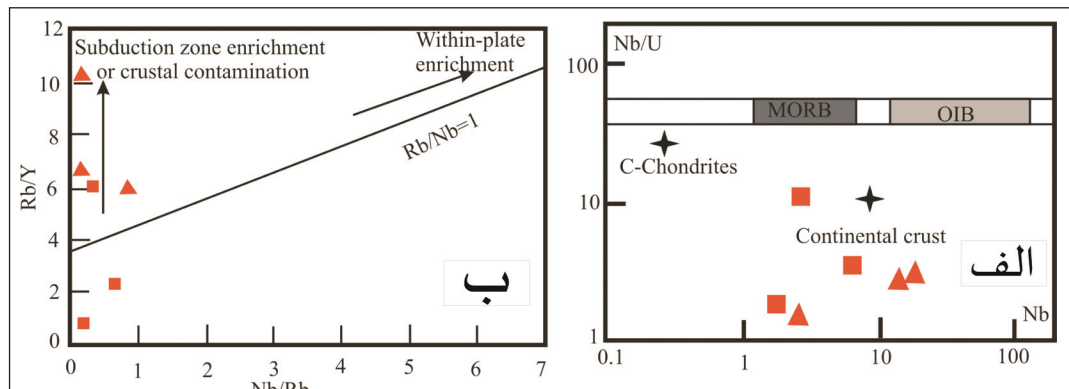
نتایج تعدادی از آنالیزهای شیمی کانی‌های پیروکسن در جدول ۲ آمده است. از تجزیه نقطه‌ای کانی‌های پیروکسن به منظور نام گذاری، شناخت ترکیب شیمیایی، تعیین دما و فشار تبلور تعادلی مجموعه کانیایی در سنگ‌های منطقه استفاده شده است. کلینوپیروکسن‌های موجود در نمودار J-Q در قلمرو پیروکسن‌های کلسیم - آهن - منیزیم (Quad) قرار گرفته‌اند (Morimoto et al., 1988) (شکل ۹-الف). در این نمودار، شاخص Q و J به صورت زیر تعریف می‌شود. مجموع کاتیون‌های $\text{Ca}+\text{Mg}+\text{Fe}^{2+}$ در آنها نزدیک به ۲ باشد.

$$Q = \text{Ca} + \text{Mg} + \text{Fe}^{2+}, \quad J = 2\text{Na}$$

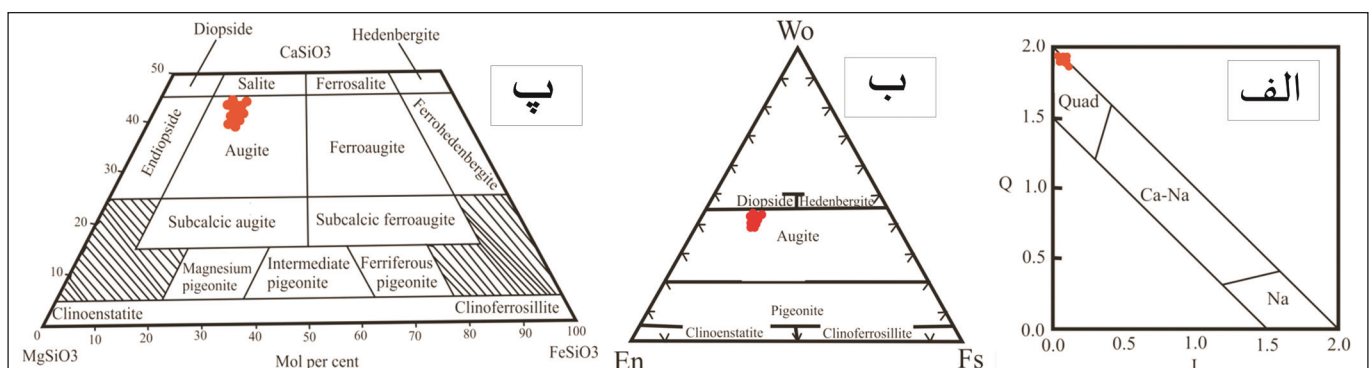
با توجه به قرار گرفتن نمونه‌ها در محدوده Quad می‌توان برای تعیین ترکیب شیمیایی (نام گذاری) پیروکسن از نمودار ولاستونیت - انساتیت - فروسیلیت استفاده نمود (Morimoto et al., 1988). در این ردبهندی (شکل ۹-ب، پ) کلیه پیروکسن‌ها در

استفاده شده است. در این نمودار نمونه های با میزان بالای Ti در محدوده غیر کوهزایی و مربوط به محیط های گسترش قرار می گیرند. در صورتی که نمونه های با میزان Ca در قسمت مربوط به کوهزایی واقع می شوند. بر اساس موقعیت نمونه های مورد بررسی در این نمودار، منشأ سنگ ها محیط های کوهزایی می باشد (شکل ۱۱).

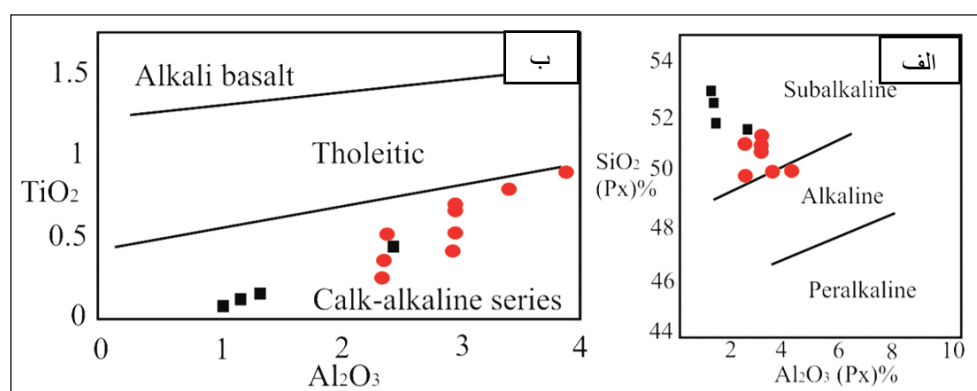
میزان استفاده کرد. میزان Al_2O_3 در دو محدوده از $4/04 - 4/12$ در محدوده از $19/49 - 22/03$ درصد وزنی تغییر می کند. میزان Ti و Al کلینوپیروکسن ها به میزان سیلیس در مذابی که از آن متبلور شده اند به ترتیب در مآگماهای گوناگون توئیتی، قلیابی و پرآلکالن افزایش پیدا می کنند (Kushiro, 1960; Le Bas, 1962). برای تعیین موقعیت زمین ساختی، از نمودار Ca در برابر Ti (Sun and McDonough, 1989) در برابر Ca در برابر Ti (Sun and McDonough, 1989)



شکل ۸-الف) نمودار Nb/U - Nb ، ب) نمودار Rb/Y - Nb/Rb



شکل ۹-الف) ترکیب شیمیایی پیروکسن ها در نمودار Q-J و ب، ب) موقعیت پیروکسن ها در نمودار مثلثی Wo-En-Fs.

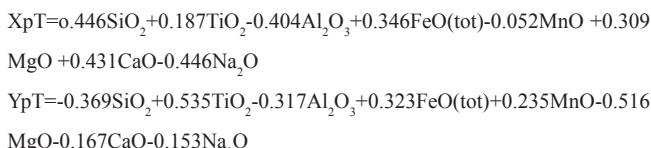


شکل ۱۰-الف و ب) تعیین نوع سری مآگمایی سنگ ها با استفاده از ترکیب کلینوپیروکسن ها AL_2O_3 و TiO_2 در برابر SiO_2 (%)

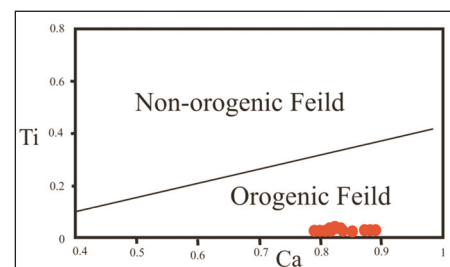
نمودار (شکل ۱۲-ب) ملاحظه می گردد، مقدار Al^{VI} در تمامی نمونه های آنالیز شده سنگ های ناحیه کمتر از ۰/۱ است که نشانگر تبلور این کانی در فشار کمتر از پنج کیلوبار می باشد. محواتی آب موجود در ماغما نیز کمتر از ۱۰٪ است (Helz, 1973)، بر پایه نمودار توزیع Al (Al^{VI}) در برابر (Al^{IV}), میزان آب هنگام پیدا شدن کلینوپیروکسن کمتر از ۱۰ درصد و فشار هنگام تبلور کمتر از پنج کیلوبار بوده و نشان دهنده محیطی کم فشار است. برپایه نمودار پیشنهادی لیندلسلي (Lindsley, 1983) دمای تبلور کلینوپیروکسن ها در بازه ۱۱۰۰ تا ۹۰۰ درجه سانتی گراد است (شکل ۱۳-الف).

ث) زمین دما-فشارسنگی با استفاده از شیمی کلینوپیروکسن ها: تعیین شرایط ترمودینامیکی انجام داد ماگما در سنگ شناسی سنگ های آذرین مسأله ای مهم به شمار می رود. ژرفای مخزن ماگمایی را با استفاده از تعیین دما و فشار تبلور کانی ها می توان تعیین نمود. همچنین محاسبه $\# \text{Mg}$ در کانی های پیروکسن موجود در این سنگ ها گویای آن است که مقدار این فاکتور ۸۵ تا ۹۵ درصد می باشد. به همین سبب می توان این پیروکسن را جزو پیروکسن های اولیه به شمار آورد. پژوهش های انجام گرفته تو سط تامپسون (Thompson, 1974) نشان می دهد که توزیع آلومینیم در موقعیت اکتاھدری و تراھدری کلینوپیروکسن ها به فشار و میزان آب موجود در محیط تبلور بستگی دارد. به این صورت که هر چه میزان Al^{VI} موجود در کلینوپیروکسن ها بیشتر باشد، این کانی در فشار بالاتری تشکیل شده است. این مسأله اساس نمودار ارائه شده است و نشان در این طبقه بندی که بر اساس مقدار Al^{VI} در برابر Al^{IV} تنظیم شده است و نشان می دهد که کلینوپیروکسن های آنالیز شده در طیف گسترده ای از فشار متوسط تا کم تبلور شده اند که احتمالاً بیانگر تبلور آنها در هنگام توقف و همچنین در هنگام صعود است (شکل ۱۳-ب).

ترکیب شیمیایی پیروکسن ها ابزار مهمی برای سنجش دما در سنگ های آذرین به شمار می رود. برای بررسی فشار تشکیل پیروکسن ها از شاخص های XPT و YPT استفاده شده که بر پایه روابط زیر به دست آمده است (Soesoo, 1997):



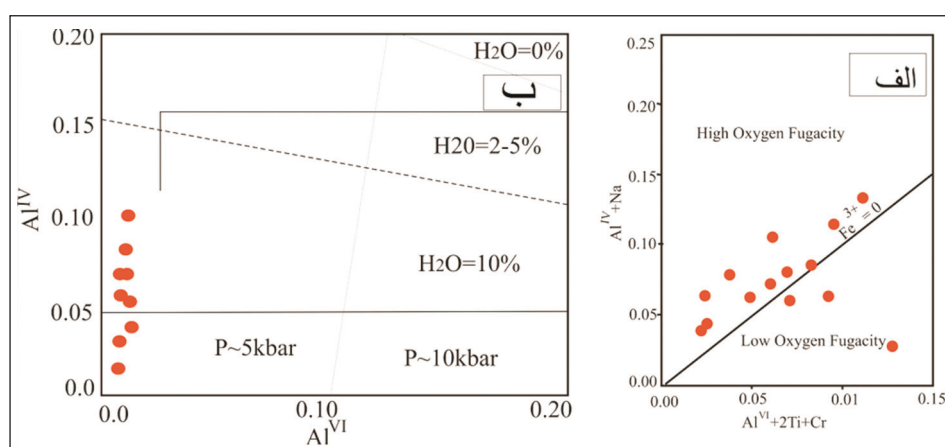
با استفاده از این نمودار، میزان فشار تبلور کلینوپیروکسن ها در محدوده حدود ۶ تا ۱۰ کیلوبار برآورد می شود (شکل ۱۴).



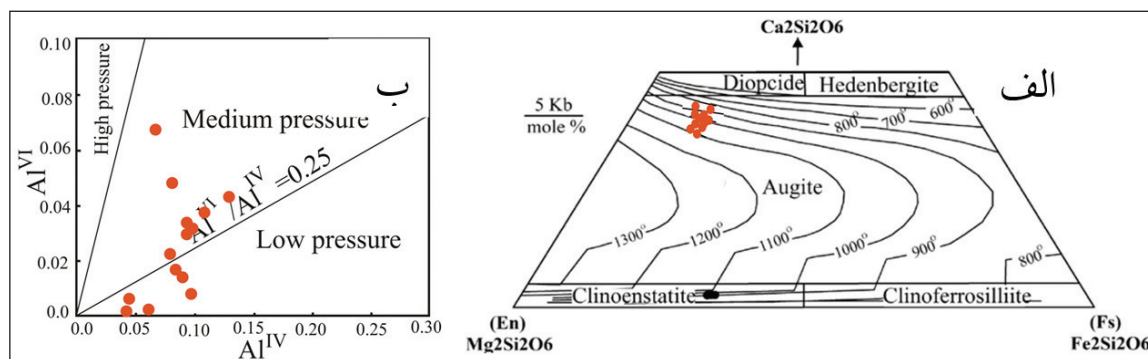
شکل ۱۱- استفاده از ترکیب شیمیایی کلینوپیروکسن جهت تعیین جایگاه زمین ساختی آن.

پ) تخمین فوگاسیته اکسیژن در ماگماهای سنگ ها: فوگاسیته اکسیژن تأثیر ویژه ای در تغییر دمای لیکیدوس و ترکیب مذاب دارد (France et al., 2010) و عامل مؤثری در کنترل فرایندهای ماگمایی است (Ottonello et al., 2001 ; Moretti, 2005; Botcharnikov et al., 2005). برای بررسی وضعیت میزان فوگاسیته اکسیژن در ماگمای اولیه با استفاده از شیمی کلینوپیروکسن، از نمودار مجموع $\text{Al}^{VI} + 2\text{Ti} + \text{Cr}$ در $\text{Na} + \text{Al}^{IV}$ برابر $\text{Cr} + \text{Ti}$ (Schweitzer et al., 1979) (شکل ۱۲-الف). بر این اساس، Fe^{+3} در موقعیت اکتاھدری جانشین عناصر سه ظرفیتی مانند Cr , Ti , Al^{IV} در ترکیب پیروکسن می شود. به این ترتیب، فراوانی Fe^{+3} در پیروکسن ها به مقدار Al^{IV} بستگی دارد. در نتیجه، هر چه آلومینیم بیشتری وارد موقعیت تراھدری شود، امکان ورود عناصر سه ظرفیتی دیگر به غیر از آلومینیم مانند Fe^{+3} به موقعیت اکتاھدری بیشتر می شود. بنابراین، در این نمودار، نمونه های بالای خط $\text{Fe}^{+3} = 0$ نشان دهنده تشکیل پیروکسن ها در فوگاسیته بالای اکسیژن است و در پایین این خط نشان دهنده فوگاسیته پایین اکسیژن می باشد. در این نمودار هر چه فاصله نمونه ها از خط $\text{Fe}^{+3} = 0$ بیشتر باشد، فوگاسیته اکسیژن در محیط تشکیل بیشتر بوده است (Cameron and Papike, 1981). این خط قرار گرفته اند که بیانگر بالا بودن میزان فوگاسیته اکسیژن در محیط تشکیل سنگ ها می باشد.

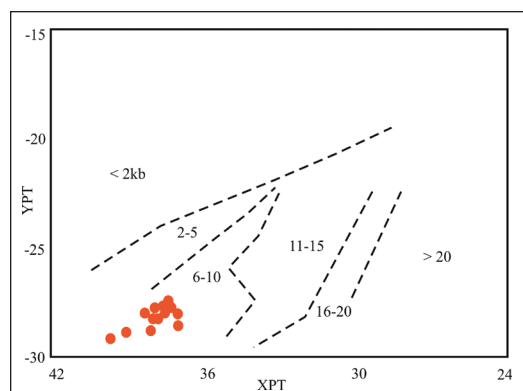
ت) تعیین مقدار آب ماگمای سازنده سنگ ها: برای تخمین میزان فشار حاکم بر محیط تشکیل سنگ های آذرین، توزیع آلومینیم در موقعیت های تراھدری و اکتاھدری کلینوپیروکسن معیار مناسبی است (Helz, 1973). افزون بر فشار، می توان از این نمودار به منظور تعیین مقدار آب ماگما نیز استفاده نمود. همان گونه که در



شکل ۱۲-الف) تخمین فوگاسیته اکسیژن ماگما با استفاده از پیروکسن ها، ب) توزیع Al در موقعیت های تراھدری و اکتاھدری در کلینوپیروکسن ها به تناسب فشار و مقدار درصد آب ماگما.



شکل ۱۳- دمای تبلور پیروکسن ها در نمودار ترسیمی برای فشار گستره ۵ کیلوبار. ب) طبقه‌بندی پیروکسن ها براساس فشار در هنگام تبلور.



شکل ۱۴- تعیین فشار تبلور پیروکسن ها با استفاده از نمودار XPT و YPT.

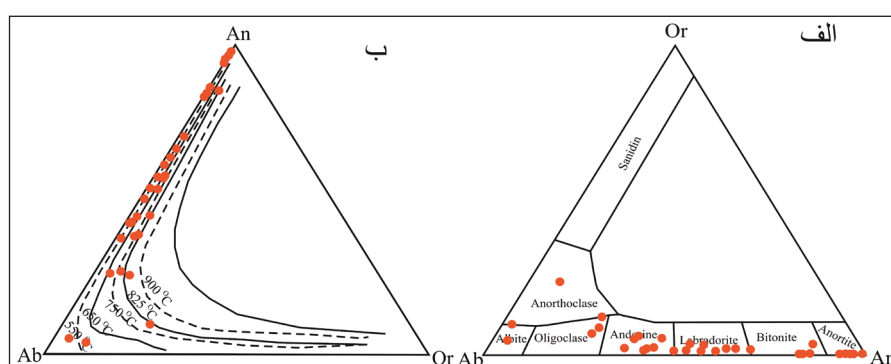
- دماسنجی پلازیوکلاز: دمای به دست آمده بر اساس نمودار Ab-An-Or (شکل ۱۵-ب)، در حدود ۶۵۰ تا ۷۵۰ درجه سانتی گراد می‌باشد. با توجه به ترکیب سنگ شناسی به نظر می‌رسد که دمای به دست آمده کمتر از دمای واقعی تبلور سنگ‌های منطقه است که احتمالاً ناشی از تحولات زیر نقطه انجماد ترکیب پلازیوکلازها در طی تبلور است (Koroll et al., 1993).

۶-۲- پلازیوکلازها

نتایج تعدادی از آنالیزهای شیمی کانی‌های پلازیوکلاز در جدول ۳ آمده است. به منظور نام‌گذاری آنها از نمودار Ab-An-Or استفاده شده است که پلازیوکلازهای تجزیه شده اکثرا در گستره آندزین تا لابرادوریت و فلدسپارهای آلکالن در گستره آنورتوکلاز قرار می‌گیرند (شکل ۱۵-الف). این کانی‌ها دارای منطقه‌بندی می‌باشند که بیانگر تشکیل آنها در شرایط نامتعادل و معمولاً ناشی از تغییرات فشار (Nelson and Montana, 1992) می‌باشند. با توجه به بررسی‌های صحرایی و میکروسکوپی منطقه، به نظر می‌رسد که تغییر ترکیب شیمیایی پلازیوکلازها در اثر تغییر ترکیب شیمیایی مagma همراه با تغییرات فشار باشد. میزان آب در مagma سازنده این سنگ‌ها به دلیل حضور کانی‌های آب‌دار اولیه بالاست. از این رو، به نظر می‌رسد که تغییرات فشار بخار آب همگام با کاهش لیتواستاتیک در تشکیل بافت‌های حل شونده و به دنبال آن نوسان‌های ترکیبی پلازیوکلازها نقش داشته‌اند.

۶-۳- آمفیبول ها

نتایج حاصل از تجزیه ریزپردازش الکترونی آمفیبول‌های موجود در سنگ‌ها در جدول ۴ آورده شده است. از رده‌بندی لیک و همکاران (Leak et al., 1997) برای نام‌گذاری آنها استفاده شده است. بنابراین رده‌بندی کلیه آمفیبول‌های تجزیه شده در گستره چرماتیت و مگنزیوهرنبلند قرار می‌گیرند (شکل ۱۶).

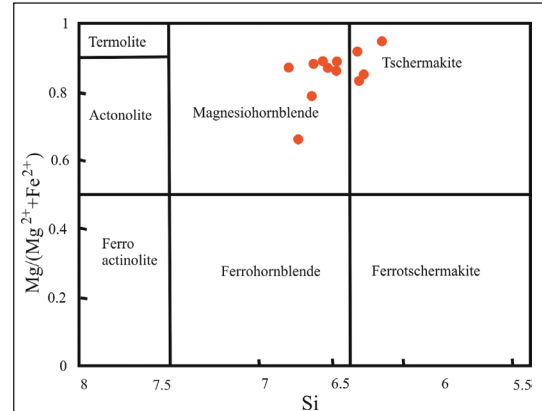


شکل ۱۵- (الف) ترکیب شیمیایی پلازیوکلازهای در نمودار Or-Ab-An-Or، (ب) نمودار Ab-An-Or برای تعیین دمای تعادلی کانی‌های پلازیوکلاز موجود برای گستره فشار ۱ کیلوبار.

جدول ۴- نتایج آنالیز نقطه ای تعدادی از آمفیبول های موجود در آندزیت.

	87-30	87-31	87-32	87-33	87-34	87-43	87-45	87-46
SiO_2	47.25	46.73	44.26	45.91	46.7	49.47	46.69	46.31
Al_2O_3	7.34	8.34	11.61	9.17	10.21	7.69	8.5	9.94
FeOt	12.85	12.55	12.01	12.5	12.42	11.24	12.6	12.89
CaO	11.68	11.8	11.13	11.53	11.3	10.93	10.94	10.67
MgO	15.54	14.37	14.01	15.02	12.1	15.67	15.01	14.55
Na_2O	1.3	1.47	2.15	1.7	1.13	1.58	1.57	1.76
K_2O	0.28	0.38	0.41	0.44	1.52	0.31	0.38	0.44
V_2O_3	0.07	0.12	0.18	0.13	0.11	0.08	0.09	0.13
Cr_2O_3	0	0	0	0	0.01	0	0	0
MnO	0.57	0.5	0.24	0.47	0.6	0.66	0.55	0.45
P_2O_5	0	0.05	0.06	0	0	0.03	0.04	0.06
NiO	0	0.07	0.31	0	0.18	0.28	0	0
TiO_2	1.17	1.41	1.7	1.53	0.96	1.1	1.32	1.45
SO_2	0	0	0	0	0	0	0	0
Total	98.05	98.15	98.07	98.4	97.24	99.04	97.96	98.65
Fe_2O_3	9.909	5.811	7.584	8.877	1.018	8.037	10.326	10.811
FeO	3.934	7.321	5.186	4.512	11.504	4.007	3.308	3.161
Si	6.737	6.753	6.368	6.551	6.868	6.939	6.664	6.546
Al^{IV}	1.233	1.247	1.632	1.449	1.132	1.061	1.336	1.454
Al^{VI}	0	0.173	0.337	0.093	0.638	0.21	0.094	0.202
Fe^{3+}	1.063	0.632	0.821	0.953	0.113	0.848	1.109	1.15
Ti	0.125	0.153	0.184	0.164	0.106	0.116	0.142	0.154
Cr	0	0	0	0	0.001	0	0	0
Fe^{2+}	0.469	0.885	0.624	0.538	1.415	0.47	0.395	0.374
Mn	0.069	0.061	0.029	0.057	0.075	0.078	0.066	0.054
Mg	3.303	3.096	3.005	3.195	2.653	3.277	3.194	3.066
Ca	1.784	1.827	1.716	1.762	1.78	1.642	1.673	1.616
Na	0.359	0.412	0.6	0.47	0.322	0.43	0.434	0.482
K	0.051	0.07	0.075	0.8	0.285	0.055	0.69	0.079

ارتباط با مگماتیسم کمانی در مناطق فروزانش اند که به باور آنها کمان مگماتی بروزی و پهنه سنتدج-سیرجان درنتیجه فروزانش پوسته اقیانوسی نوثیتس به زیر حاشیه فعل قاره ای ایران مرکزی تشکیل شده است. بود بی هنجاری مشخص Eu در این نمودارها، نشانگر روند جدایش عادی مگما و یا شرایط اکسایشی مگما تشکیل دهنده آنها است. ترکیب کلینوپیروکسن ها اوژیت است و مگماتی بکه این کلینوپیروکسن ها از آن متبلور شده اند در حدود ۱۰ درصد آب داشته است. میزان آهن سه ظرفیتی در کلینوپیروکسن ها نشان دهنده میزان بالای اکسیزن مگمات است. میزان فوکاسیتی در محیط تشکیل سنگ ها بالا بوده که نشان دهنده محیطی اکسیدان در هنگام شکل گیری این سنگ هاست. مقادیر بالای فوکاسیتی اکسیزن نیز با قرار گیری آنها در محیط مرتبط با فروزانش مطابقت دارد. مطالعات زمین دما- فشارسنگی کلینوپیروکسن ها گویای آن است که میزان فشار تبلور کلینوپیروکسن ها حدود ۶-۱۰ کیلوبار را نشان می دهد و ترکیب کلینوپیروکسن ها در گستره دمایی ۹۰۰-۱۱۰۰ درجه سانتی گراد را نشان می دهد. این کلینوپیروکسن ها متعلق به سری کالک آلکالن کوهزادی می باشند. تغییرات ترکیبی در پلاژیو کلازها مطابق با شواهد میکروسکوپی آنهاست که احتمالاً حاصل عواملی چون تغییر ترکیب شیمیایی مگما همراه با تغییرات فشار در طی بالا آمدن مگما، اختلاط مگماتی و تغییرات فشار بخار آب است. دمای به دست آمده از آنها در حدود ۶۵۰ تا ۷۵۰ درجه سانتی گراد می باشد. با توجه به ترکیب شیمیایی کلینوپیروکسن ها و با استفاده از نمودارهای مریوط به آنها می توان برداشت کرد که مگما مادر این کلینوپیروکسن ها یک ناحیه مرتبط با کمان آتشفسانی مشنا گرفته است. کلینوپیروکسن ها از تینانیم تهی شده اند (جدول ۳)، این تهی شدگی می تواند مرتبط با خاصیت مگماهای مادر آنها یعنی مگماهای نوع کمانی می باشد. با توجه به نتایج حاصل از سنگ نگاری، ژئوشیمی سنگ کل و شیمی کانیایی نمونه های مورد بررسی، گرایش سنگ ها به کالک آلکالن و محیط زمین ساختی آنها در محیط کمان آتشفسانی وابسته به فروزانش است. این کمان آتشفسانی با توجه به نقشه ها و بررسی های انجام شده، می تواند مرتبط با فروزانش اقیانوس نوثیتس به زیر



شکل ۱۶- ترکیب شیمیایی آمفیبول های موجود در سنگ های آندزیتی در رده بندی لیک و همکاران (Leak et al., 1997).

۷- بحث

آندزیت های مورد بررسی به صورت گذازه ای جریانی و دایکی در منطقه حضور دارند، کانی های اصلی آنها پلاژیو کلاز (آندرزین تا لابرادوریت)، پیروکسن (اوژیت) و آمفیبول (چرمکیت و مگنزیو هورنبلند) هستند. با توجه به ژئوشیمی عنصر اصلی این نمونه ها دارای سرشت کالک آلکالن هستند و در محیط کمان آتشفسانی تشکیل شده اند. الگوی نمودارهای عنصر خاکی نشانگر غنی شدگی در LREE ها همراه با تهی شدگی از HREE را نشان می دهند که مشابه با سری های کالک آلکالن مرتبط با گذازه های کمان آتشفسانی مزو زوییک پهنه سنتدج-سیرجان هستند (شکل ۷- ب). عمرانی و همکاران (Omran et al., 2008) نشان دادند که سنگ های آتشفسانی مزو زوییک در پهنه سنتدج-سیرجان دارای گرایش سنگ کالک آلکالن می باشند و در

اکسیژن در محیط تشکیل سنگ‌ها می‌باشد. کلینوپیروکسن‌های آنالیز شده در طیف گسترده‌ای از فشار متوسط تا کم متبلور شده‌اند که احتمالاً بیانگر تبلور آنها در هنگام توقف و همچنین در هنگام صعود است و میزان فشار تبلور کلینوپیروکسن‌ها در محدوده ۱۰ تا ۱۰ کیلوبار برآورد می‌شود. پلاژیوکلاز‌های تعزیزه شده بیشتر در گستره آندزین تا لایرادروریت و فلدسپارهای قلایی در گستره آنورتوکلاز و سانیدین قرار می‌گیرند. به نظر می‌رسد تغییر ترکیب شیمیایی پلاژیوکلازها در اثر تغییر ترکیب شیمیایی مagma همراه با تغییرات فشار باشد. میزان آب در مagma‌های سازنده این سنگ‌ها به دلیل حضور کانی‌های آب‌دار اولیه، بالاست. از این رو، به نظر می‌رسد که تغییرات فشار بخار آب همگام با کاهش فشار لیتواستاتیک در تشکیل بافت‌های حل‌شونده و به دنبال آن نوسان‌های ترکیبی پلاژیوکلازها نقش داشته‌اند. دمای به دست آمده بر اساس پلاژیوکلازها در حدود ۶۵۰ تا ۷۵۰ درجه سانتی گراد می‌باشد.

سپاسگزاری

از شرکت ایمیدرو خصوصاً آقای کریمی شهرکی که در خصوص آنالیزها کمک شایانی به نگارندگان کردۀ‌اند کمال تشکر و قدردانی را داریم. همچنین از تحصیلات تکمیلی دانشگاه و داوران این مقاله سپاسگزاری می‌شود.

پهنه سنترج-سیرجان در زمان ائوسن باشد. بررسی‌های ژئوشیمیایی و غنی‌شدگی از عناصر LREE و تهی‌شدگی از عناصر HREE گویای وجود گارنت در سنگ خاستگاه می‌باشد. این مagma‌های مادر در آشیانه مagma‌ای پوسته‌ای شواهد تفریق مagma‌ای را نشان می‌دهد.

-۸- نتیجه‌گیری

از نظر ویژگی‌های سنگ‌شناسی، آندزیت‌ها دارای بافت پورفیری هستند که دارای کانی‌های اصلی پلاژیوکلاز (۳۵-۵۰ درصد)، پیروکسن (۱۵-۲۰ درصد)، آمفیبول (۵-۱۰ درصد) و کانی‌های فرعی آنها اپیدوت، کلریت، کلسیت و آپاتیت هستند. این سنگ‌ها اغلب در محدوده ساب آلکان و مرز مشترک سری آلکان و ساب آلکان واقع می‌شوند و در محدوده کمان آتششانی وابسته به فروراش واقع می‌شوند. عناصر LREE دارای کمی غنی‌شدگی و عناصر HREE دارای تهی‌شدگی می‌باشد. کلینوپیروکسن‌ها در قلمرو پیروکسن‌های کلسیم - آهن - مینزیم (Quad) و Na-Ca و در گروه اوژیت قرار می‌گیرند. بر اساس موقعیت، کلینوپیروکسن‌های مورد بررسی دارای منشاً سنگ‌های محیط‌های کوه‌زایی می‌باشند. پیروکسن‌های مورد بررسی این منطقه، در بالای خط $Fe^{+3}=0$ قرار گرفته‌اند که بیانگر بالا بودن میزان فوگاسیته

کتابخانه

- حسن زاده، ج، ۱۳۵۷، مطالعه زمین‌شناسی و پترولوری سنگ‌های آذرین ناحیه قمیر، جنوب کاشان (ایران مرکزی). پایان نامه‌ی کارشناسی ارشد، دانشکده علوم پایه، دانشگاه تهران.
- شهاب‌پور، ج، ۱۳۸۴، زمین‌شناسی اقتصادی، انتشارات دانشگاه کرمان، ۵۰۹ ص.
- قدمی، غ، ۱۳۸۷، پتروگرافی، ژئوشیمی و پتروژئن‌توهه‌های گراینیتی‌بی، ولکانیک و ولکانیک و ساب ولکانیک (آداکیتی) شمال غرب شهریابک، کرمان. ساله دکتری، دانشکده علوم پایه، دانشگاه شهید باهنر کرمان، دانشکده علوم، ۳۳۵ ص.
- مرادیان شهریابکی، ع، ۱۳۷۵، بررسی پترولوری و ارزیابی اقتصادی سنگ‌های آذرین فلدسپاتوئیدار شمال شهریابک (جوزم). پایان نامه‌ی کارشناسی ارشد، دانشکده علوم پایه، دانشگاه تهران، ۲۴۲ ص.
- مهدوی، م، ۱۳۷۷، نقشه زمین‌شناسی بهایاد، مقیاس ۱:۱۰۰،۰۰۰، سازمان زمین‌شناسی و اکتشافات معدنی کشور.

References

- Agard, P., Omrani, J., Jolivet, L., and Mouthereau, F., 2005. Convergence history across Zagros (Iran): constraints from collisional and earlier deformation, *Int. J. Earth Sci.*, 94: 401-419. <https://doi.org/10.1007/s00531-005-0481-4>.
- Allen, M.B., Jackson, J., and Walker, R., 2004. Late Cenozoic reorganization of the Arabia-Eurasia collision and the comparison of short-term and long-term deformation rates, *Tectonics*, 23: 1-16. doi:10.1029/2003TC001530.
- Aoki, K., and Shiba, I., 1973. Pyroxenes from Iherzolite inclusions of Itinome-gata Japan. *Lithos*, 6: 41-51. doi:10.1016/0024-4937(73)90078-9.
- Beccaluva, L., Macciotta, G., Piccardo, G.B., and Zeda , O., 1989. Clinopyroxene composition of ophiolite basalts as petrogenetic indicator, *Chemical Geology*, 77(3), 165-182. doi:10.1016/0009-2541(89)90073-9.
- Berberian, M., and King, G.C.P., 1981. Towards a paleogeography and tectonic evolution of Iran. *Can. J. Earth Sciences*, 18: 210-265. doi:10.1139/e81-019.
- Best, M., 2003. Igneous and metamorphic petrology. Black, 729pp.
- Botcharnikov, R.E., Koepke, J., Holtz, F., McCammon, C., and Wilk, M., 2005. The effect of water activity on the oxidation and structural state of Fe in a ferro-basaltic melt, *Geochimica et Cosmochimica Acta*, 69(21), 5071-5085. doi:10.1016/j.gca.2005.04.023.
- Cameron, M., and Papike, J.J., 1981. Structural and chemical variations in pyroxenes, *American Mineralogist*, 66 (1-2), 1-50. doi: http://www.minsocam.org/ammin/AM66/AM66_1.pdf.
- Cornelius, T., Ntaflos, Th.V., and Akinin, V., 2011. Polybaric petrogenesis of Neogene alkaline magmas in an extensional tectonic environment: Viliga Volcanic Field, northeast Russia. *Lithos* 122 , 13 –24. doi : <https://doi.org/10.1016/j.lithos.2010.11.009>.
- Davoudzadeh, M., Soffel, H., and Schmidt, K., 1981. On the rotation of the Central-East Iran microplate. *N. Jb. Geol. Palaont. Mh.*, 3: 180-192. doi: 10.1127/njgpm/1981/1981/180.
- Dimitrijevic, M.D., 1973. Geology of Kerman region. *Geol. Surv. Iran*, Yu/52, 334p.
- Esperanca S., Crisci M., de Rosa R., and Mazzuli R., 1992. The role of the crust in the magmatic evolution of the island Lipari (Aeolian Islands, Italy). *Contributions to Mineralogy and Petrology* 112, 450–462. <https://doi.org/10.1007/BF00310777>.
- France, L., Ildefonse, B., Koepke, J., and Bech, F., 2010. A new method to estimate the oxidation state of basaltic series from microprobe analyses. *Journal of Volcanology and Geothermal Research*, 189(3), 340-346. doi: 10.1016/j.jvolgeores.2009.11.023.
- Ghorbani, M.R., 2006. Lead enrichment in Neotethyan volcanic rocks from Iran: the implications of a descending slab, *Geochemical Journal* 40 (6) ,557-68. doi : <http://ijcm.ir/article-1-1563-en.html>.
- Helz, R.T., 1973. Phase relations of basalts in their melting ranges at $pH_2O=5kb$ as a function of oxygen fugacity, Part I. Mafic Phases, *Journal of Petrology*, 14, 249-302. doi: <https://doi.org/10.1093/petrology/14.2.249>.
- Irvine, T. N., and Baragar, W. R. A., 1971. A guide to chemical classification of the common volcanic rocks. *Canadian Journal of Earth Sciences* 8: 523–548. Doi: 10.1007/BF00321755

- Jackson, J., Hains, J., and Holt, W., 1995. The accommodation of Arabia-Eurasia plate. *Journal of Geophysical Research*, 100: 15,205-15,219. doi:10.1029/95JB01294.
- Koroll, H., 1993. Evangelakakis, C. and Voll, Two feldspar Geothermometry: a review and revision for slowly cooled rocks. *Contributions to Mineralogy and Petrology*, 510-518. doi: 1971CaJES8523I.
- Kuno, H., 1968. Origin of Cenozoic petrologic provinces of Japon and surrounding areas. *Bull. Volcano*. 20, 37-76.
- Kuscu, G.G., and Geneli, F., 2010. Review of post-collisional volcanism in the central Anatolian volcanic province (Turkey), with special reference to the Tepekoval volcanic complex, *International Journal of Earth Sciences* 99(3), 593-621. doi:10.1007/s00531-008-0402-4.
- Kushiro, I., 1960. Si-Al relation in clinopyroxenes from igneous rocks, *American Journal of Science* 258: 548-554. doi: <https://doi.org/10.2475/ajs.258.8.548>.
- Leak, B.E., Woolley, A.R., Birch, W.C., Gilbert, M.C., Grice, J.D., Hawthorne, F.C., Kato, A., Kish, H.J., Krivovicher, V.G., Linthout, K., Laird, J., and Mandario, J., 1997 "Nomenclature of amphiboles", Report of the subcommittee on amphiboles of International Mineralogical Association. *Mineralogical Magazine*, Volume 61 , Issue 405 , pp. 295 - 310. <https://doi.org/10.1180/minmag.1997.061.405.13>.
- Le Terrier, J., Maury, R.C., Thonon, P., Girard, D., and Marchal, M., 1982. Clinopyroxene composition as a method of identification of the magmatic affinities of paleo-volcanic series, *Earth and Planetary Science Letters*, 59, 139-54. [https://doi.org/10.1016/0012-821X\(82\)90122-4](https://doi.org/10.1016/0012-821X(82)90122-4).
- Le Bas, M.J., LeMaitre, R.W., Streckeisen, A., and Zanettin, B., 1986. A chemical classification of volcanic rocks based on the total alkali silica diagram, *Journal of Petrology*, 27, 745-750. <https://doi.org/10.1093/petrology/27.3.745>.
- Le Bas, M.J., 1962. The role of aluminium in igneous clinopyroxenes with relation to their parentage. *American Journal of Science* 260: 267-288. <https://doi.org/10.2475/ajs.260.4.267>.
- Lindsley, D.H., 1983. Pyroxene thermometry. *American Mineralogists* 68, 477-493. doi: http://www.minsocam.org/ammin/AM68/AM68_477.pdf.
- Moretti, R., 2005. Polymerisation, basicity, oxidation state and their role in ionic modelling of silicate melts. *Annals of Geophysics geology*, Edition techniq, Paris, 58 P.
- Morimoto, N., Fabrise, J., Ferguson, A., Ginzburg, I.V., Ross, M., Seifert, F.A., Zussman, J., Akoi, K., and Gottardi, G., 1988. Nomenclature of pyroxenes, *Mineralogical Magazine*, 52, 535-550. <https://doi.org/10.1180/minmag.1988.052.367.15>.
- Muller, D., and Groves, D.I., 1997. Potassic igneous rocks and associated gold copper mineralization, Spring Verlage, 241 p.
- Nelson, S.T., and Montana, A., 1992. Sieve textured plagioclase in volcanic rocks produced by rapid decompression, *American Mineralogist* 77,1242-1249. doi:http://www.minsocam.org/ammin/AM77/AM77_1242.pdf.
- Omran, J., Agard, P., Whitechurch, H., Benoit, M., Prouteau, G., and Jolivet, L., 2008. Arc-magmatism and subduction history beneath Zagros: New report of adakites and geodynamic consequences. *Lithos*, 106: 380-398. <https://doi.org/10.1016/j.lithos.2008.09.008>.
- Ottone, G., Moretti, R., Marini, L., and Vetuschi Zuccolini, M., 2001. Oxidation state of iron in silicate glasses and melts: a thermochemical model. *Chemical geology*, 174(1), 157-179. [https://doi.org/10.1016/S0009-2541\(00\)00314-4](https://doi.org/10.1016/S0009-2541(00)00314-4).
- Peng, T., Wang, Y., Zhao, G., Fan, W., and Peng, B., 2008. Arc-like volcanic rocks from the southern Lancangjiang zone, SW China: Geochronological and geochemical constraints on their petrogenesis and tectonic implication , *Lithos*, 102 358-373. doi : 10.1016/j.lithos.2007.08.012.
- Schweitzer, E.L., Papke, J.J., and Bence, A. E., 1979. Statistical analysis of clinopyroxenes from deep-sea basalts, *American Mineralogist*, 64, 501-513. doi: 64/5-6/501/41015.
- Soesoo, A.A., 1997. Multivariate statistical analysis of clinopyroxene composition: empirical coordinates for the crystallisation PT-estimations. *Geological Society of Sweden (Geologiska Foreningen)* 119: 55-60. doi: 10.1080/11035899709546454.
- Sun, S.S., and McDonough, W.F., 1989. Chemical and isotopic systematics of oceanic basalts: implications for mantle composition and processes. In: Saunders, A.D., Norry, M.J. Eds., *Magmatism in Ocean Basins*, Geological Society London Special Publication, London, 313-345. doi:10.1144/GSL.SP.1989.042.01.19.
- Tatsumi, Y., and Hanyu, T., 2003. Geochemical modeling of dehydration and partial melting of subducting lithosphere: Toward a comprehensive understanding of high-Mg andesite formation in the setouchi volcanic belt, SW Japan, *Geochemistry, Geophysics, Geosystems* 4 (9) 1-19. doi:10.1029/2003GC000530.
- Temel, A., Gondogdu, M.N., and Gourgaud ,A., 1998. Petrological and geochemical characteristics of Cenozoic high-K calc-alkaline volcanism in Konya, Central Anatolia, Turkey, *Journal of Volcanology and Geothermal Research* 85, 327-357. [https://doi.org/10.1016/S0377-0273\(98\)00062-6](https://doi.org/10.1016/S0377-0273(98)00062-6).
- Thompson, R.N., 1974. Some high-pressure pyroxenes. *Mineralogical Magazine* 39: 768-787. doi: <https://doi.org/10.1180/minmag.1974.039.307.04>.
- Varekamp, J.C., Hess, A., and Mandeville, C.W., 2010. Back-arc basalts from the Loncopue graben (Province of Neuquen, Argentina, *Journal of Volcanology and Geothermal Research* 197 313-328. doi:10.1016/j.jvolgeores.2010.04.003.
- Wayer, S., Munker, C., and Meger, K., 2003. Nb/Ta, Zr/Hf and REE in the depleted mantle: implications for the differentiation history of the crust-mantle system, *Earth and Planetary Science Letters* 205, 24-309. doi: 10.1016 /S0012-821X(02)01059-2.
- Wood, D.A., 1980. The application of a Th-Hf-Ta diagram to problems of tectonomagmatic classification and to establishing the nature of crustal contamination of basaltic lavas of the British Tertiary volcanic province, *Earth and Planetary Science Letter*, 50, 11-30. [https://doi.org/10.1016/0012-821X\(80\)90116-8](https://doi.org/10.1016/0012-821X(80)90116-8).

Original Research Paper

The origin and Geothermobarometry of andesites from Masahim volcano, Shahr-e-Babak, Kerman SE Iran

Zahra Khajehjavarani¹, Gholam Reza Ghadami^{1*}, Mohammad Poosti¹, Abbas Moradian², and Behrouz Karimi Shahraki³

¹ Department of Geology, Faculty of Sciences, University of Hormozgan, Bandarabbas, Iran

² Department of Geology, Faculty of Sciences, University of Shahid Bahonar, Kerman, Iran

³ Laboratory of Iran Mineral Processing Research Center, Karaj, Iran

ARTICLE INFO

Article history:

Received: 2021 November 24

Accepted: 2022 January 24

Available online: 2022 December 22

Keywords:

Geobarometry

Geothermometry

Chemistry

Andesite

Kerman

ABSTRACT

Andesites are located in the north of shahr-e-babak, central Iran, Urumieh- Dokhtar belt. The main texture in these rocks is porphyry and their phenocrysts are plagioclase (Andesine to Labradorite), pyroxene (Augite), amphibol (Tschermakite and Magnesiohornblende). These properties are signatures of calc- alkaline series formed in a volcanic arc setting. Based on geochemical studies, the rocks show enrichment in LREE rather than HREE. The lack of significant Eu anomalies in REE pattern indicates oxidation state of magma during crystallization. Based on geochemical studies, the clinopyroxenes are Augite and have been crystallized from magma with almost 10% H₂O. Fe³⁺ values of the clinopyroxenes reveal high oxygen fugacity in the magma. Based on the mineral chemistry data, pressure estimates from the clinopyroxenes in the range of 6-10 Kbar and composition yield the crystallization temperatures that range from 900-1100 °C. Typically, the clinopyroxenes occur at calc-alkaline orogenic igneous rocks. The plagioclase composition yield the crystallization temperatures that range from 650-750 °C. According to the present study, the rocks are probably the result of the subduction of the Neo-Tethys oceanic lithosphere below the Sanandaj-Sirjan zone, during the Eocene and in a volcanic arc environment.

* Corresponding author: Gholam Reza Ghadami; E-mail: ghadami@hormozgan.ac.ir

E-ISSN: 2645-4963; Copyright©2021 G.S. Journal & the authors. All rights reserved.

 doi: 10.22071/GSJ.2022.311942.1958

 doi: 10.1001.1.10237429.1401.32.4.2.8



This is an open access article under the by-nc/4.0/ License (<https://creativecommons.org/licenses/by-nc/4.0/>)